

Starkniederschlagshöhen und -spenden gemäß KOSTRA-DWD-2010R

Auswertungszeitraum von 1951 - 2010, Januar - Dezember

Rasterfeld: 42031

Zeile: 42

Spalte: 31

Seite: 1/2

| Dauerstufe D | Wiederkehrzeit T | | | | | | | | | | | | | | | | | | |
|--------------|------------------|------|------------|------|------------|------|------------|------|------------|------|------------|------|------------|------|------------|-------|------------|-------|------------|
| | 1 a | | 2 a | | 3 a | | 5 a | | 10 a | | 20 a | | 30 a | | 50 a | | 100 a | | |
| min | Std | mm | l / (s ha) | mm | l / (s ha) | mm | l / (s ha) | mm | l / (s ha) | mm | l / (s ha) | mm | l / (s ha) | mm | l / (s ha) | mm | l / (s ha) | mm | l / (s ha) |
| 5 | | 4,5 | 150,0 | 6,0 | 200,0 | 6,8 | 226,7 | 7,9 | 263,3 | 9,4 | 313,3 | 10,9 | 363,3 | 11,7 | 390,0 | 12,8 | 426,7 | 14,3 | 476,7 |
| 10 | | 7,2 | 120,0 | 9,2 | 153,3 | 10,4 | 173,3 | 11,9 | 198,3 | 13,9 | 231,7 | 16,0 | 266,7 | 17,2 | 286,7 | 18,7 | 311,7 | 20,7 | 345,0 |
| 15 | | 9,0 | 100,0 | 11,5 | 127,8 | 12,9 | 143,3 | 14,7 | 163,3 | 17,2 | 191,1 | 19,6 | 217,8 | 21,0 | 233,3 | 22,8 | 253,3 | 25,3 | 281,1 |
| 20 | | 10,3 | 85,8 | 13,1 | 109,2 | 14,7 | 122,5 | 16,8 | 140,0 | 19,6 | 163,3 | 22,4 | 186,7 | 24,0 | 200,0 | 26,1 | 217,5 | 28,9 | 240,8 |
| 30 | | 12,0 | 66,7 | 15,4 | 85,6 | 17,4 | 96,7 | 19,9 | 110,6 | 23,3 | 129,4 | 26,6 | 147,8 | 28,6 | 158,9 | 31,1 | 172,8 | 34,5 | 191,7 |
| 45 | | 13,6 | 50,4 | 17,7 | 65,6 | 20,0 | 74,1 | 23,0 | 85,2 | 27,1 | 100,4 | 31,2 | 115,6 | 33,6 | 124,4 | 36,6 | 135,6 | 40,6 | 150,4 |
| 60 | | 14,5 | 40,3 | 19,2 | 53,3 | 21,9 | 60,8 | 25,3 | 70,3 | 30,0 | 83,3 | 34,6 | 96,1 | 37,3 | 103,6 | 40,7 | 113,1 | 45,4 | 126,1 |
| 90 | | 16,1 | 29,8 | 21,1 | 39,1 | 24,0 | 44,4 | 27,7 | 51,3 | 32,8 | 60,7 | 37,8 | 70,0 | 40,7 | 75,4 | 44,4 | 82,2 | 49,4 | 91,5 |
| 120 | 2 | 17,3 | 24,0 | 22,6 | 31,4 | 25,7 | 35,7 | 29,6 | 41,1 | 34,9 | 48,5 | 40,2 | 55,8 | 43,3 | 60,1 | 47,2 | 65,6 | 52,5 | 72,9 |
| 180 | 3 | 19,3 | 17,9 | 25,0 | 23,1 | 28,3 | 26,2 | 32,5 | 30,1 | 38,2 | 35,4 | 43,9 | 40,6 | 47,2 | 43,7 | 51,4 | 47,6 | 57,1 | 52,9 |
| 240 | 4 | 20,8 | 14,4 | 26,8 | 18,6 | 30,3 | 21,0 | 34,7 | 24,1 | 40,7 | 28,3 | 46,7 | 32,4 | 50,2 | 34,9 | 54,6 | 37,9 | 60,7 | 42,2 |
| 360 | 6 | 23,1 | 10,7 | 29,5 | 13,7 | 33,3 | 15,4 | 38,1 | 17,6 | 44,5 | 20,6 | 51,0 | 23,6 | 54,8 | 25,4 | 59,6 | 27,6 | 66,0 | 30,6 |
| 540 | 9 | 25,6 | 7,9 | 32,6 | 10,1 | 36,7 | 11,3 | 41,8 | 12,9 | 48,8 | 15,1 | 55,7 | 17,2 | 59,8 | 18,5 | 65,0 | 20,1 | 71,9 | 22,2 |
| 720 | 12 | 27,6 | 6,4 | 34,9 | 8,1 | 39,2 | 9,1 | 44,7 | 10,3 | 52,0 | 12,0 | 59,4 | 13,8 | 63,7 | 14,7 | 69,1 | 16,0 | 76,4 | 17,7 |
| 1080 | 18 | 30,6 | 4,7 | 38,6 | 6,0 | 43,2 | 6,7 | 49,0 | 7,6 | 56,9 | 8,8 | 64,9 | 10,0 | 69,5 | 10,7 | 75,3 | 11,6 | 83,3 | 12,9 |
| 1440 | 24 | 33,0 | 3,8 | 41,4 | 4,8 | 46,2 | 5,3 | 52,4 | 6,1 | 60,8 | 7,0 | 69,1 | 8,0 | 74,0 | 8,6 | 80,1 | 9,3 | 88,5 | 10,2 |
| 2880 | 48 | 41,3 | 2,4 | 50,6 | 2,9 | 56,0 | 3,2 | 62,9 | 3,6 | 72,2 | 4,2 | 81,5 | 4,7 | 87,0 | 5,0 | 93,8 | 5,4 | 103,1 | 6,0 |
| 4320 | 72 | 47,1 | 1,8 | 57,0 | 2,2 | 62,7 | 2,4 | 70,0 | 2,7 | 79,9 | 3,1 | 89,7 | 3,5 | 95,5 | 3,7 | 102,7 | 4,0 | 112,6 | 4,3 |

Angaben in mm: Bemessungsniederschlagswerte h(n)

Angaben in l / (s ha): Regenspende R(n) mit $R(n) = h(n) \times 1,666667 / D[\text{min}]$

Toleranzbereiche:

+/- 10 % für $1 \text{ a} \leq T \leq 5 \text{ a}$

+/- 15 % für $5 \text{ a} < T \leq 50 \text{ a}$

+/- 20 % für $50 \text{ a} < T \leq 100 \text{ a}$

Datenbasis: KOSTRA-DWD-2010R des Deutschen Wetterdienstes. Die Regenspende wurde auf Basis des Bemessungsniederschlags zur jeweiligen Andauer berechnet.

Für die Richtigkeit und Aktualität der Angaben wird keine Gewähr übernommen. Erstellt 07/2022.

Starkniederschlagshöhen und -spenden gemäß KOSTRA-DWD-2010R

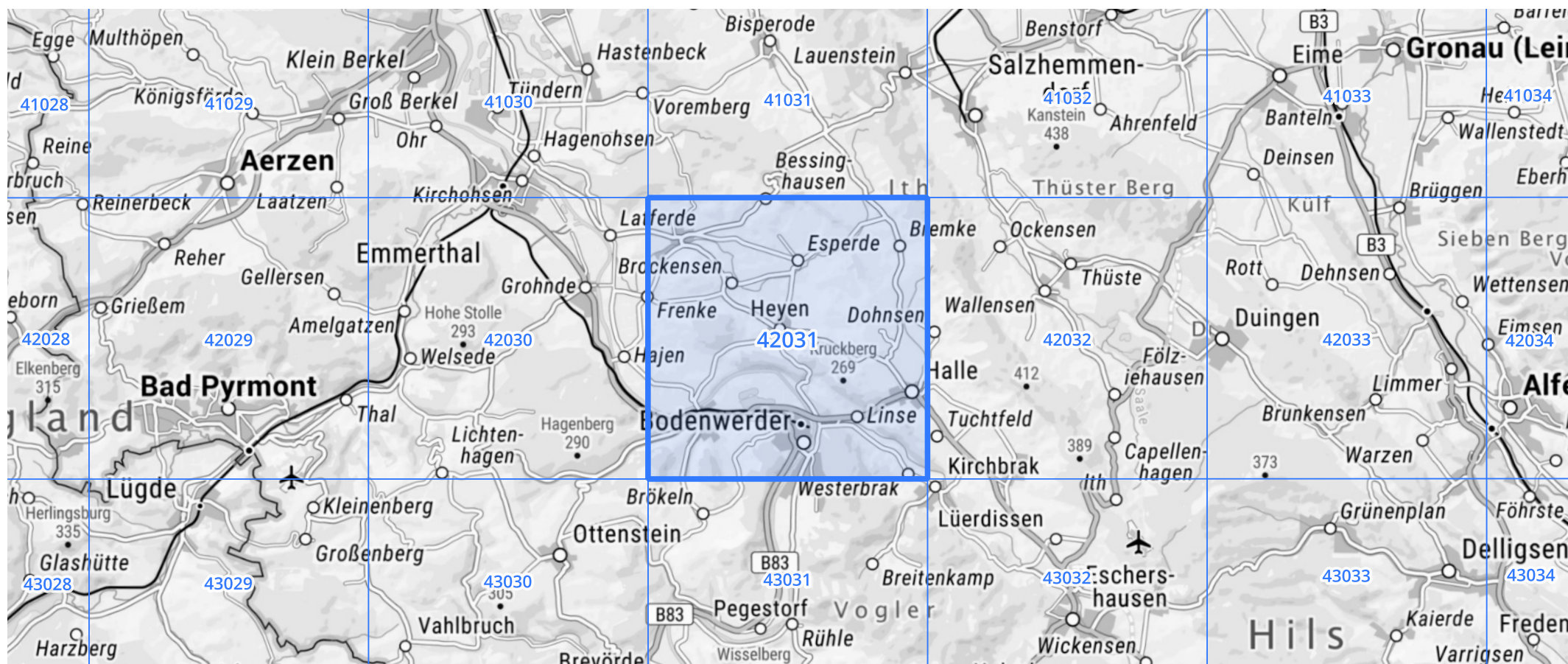
Auswertungszeitraum von 1951 - 2010, Januar - Dezember

Rasterfeld: 42031

Zeile: 42

Spalte: 31

Seite: 2/2



Quelle Rasterdaten: KOSTRA-DWD-2010R des Deutschen Wetterdienstes.

Kartendarstellung: © Bundesamt für Kartographie und Geodäsie (2022), Datenquellen: https://sgx.geodatenzentrum.de/web_public/gdz/datenquellen/Datenquellen_TopPlusOpen.html

Für die Richtigkeit und Aktualität der Angaben wird keine Gewähr übernommen. Erstellt 07/2022.